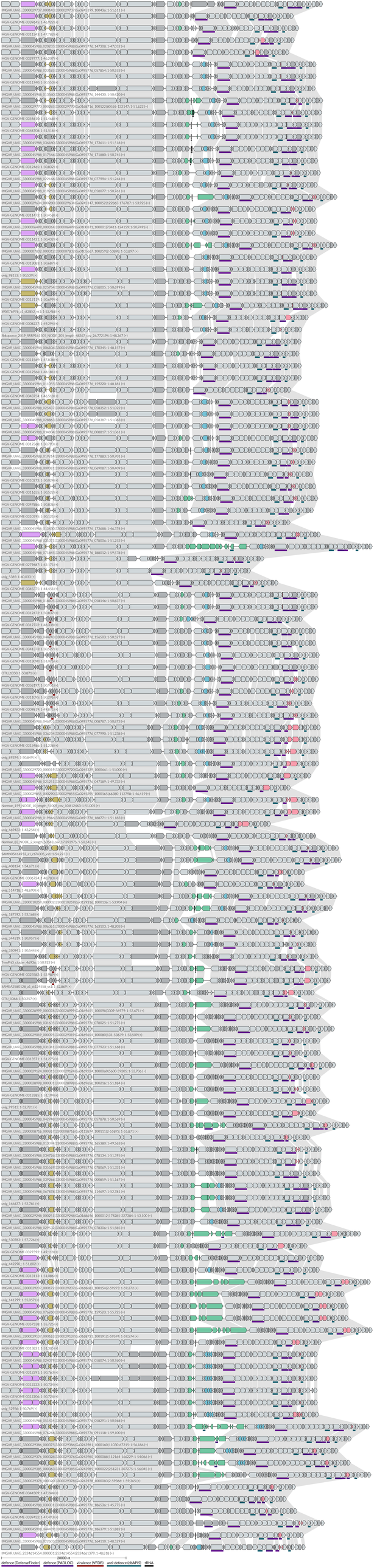
IMGVR_UHGV_2000029737:000143:1000029737/Ga0245139_100436:1-51;6;11(+)
MGV-GENOME-0329645:146-922(-)
IMGVR_UHGV_2000049988:020235:1000049988/Ga0497176_147308:1-47;0;2(-)
MGV-GENOME-0329777:3-46;2(+)
IMGVR_UHGV_2000049988:001865:1000049988/Ga0497176_057854:1-50;5;3(+)
MGV-GENOME-0311740:1-50;-5;5(-)
IMGVR_UHGV_2000049988:031869:1000049988/Ga0497176_144430:1-50;4;0(+)
IMGVR_UHGV_2000029977:000085:1000029977/Ga0245818:16:1001229850:6-132147:1-51;6;22(+)
MGV-GENOME-0325623:1-51;4;8(-)
MGV-GENOME-0348708:1-51;5;8(+)
IMGVR_UHGV_2000049988:036388:1000049988/Ga0497176_173611:1-51;5;8(+)
IMGVR_UHGV_2000049988:037546:1000049988/Ga0497176_171880:1-50;7;5(+)
MGV-GENOME-0312463:1-50;8;0(-)
IMGVR_UHGV_2000049988:021294:1000049988/Ga0497176_077994:1-51;2;4(+)
IMGVR_UHGV_2000049988:019253:1000049988/Ga0497176_058077:1-50;7;6(+)
IMGVR_UHGV_2000049988:000280:1000049988/Ga0245143:40:1000521230:1-51;7;8(+)
MGV-GENOME-0311472:1-50;4;8(+)
IMGVR_UHGV_2000004499:000318:1000004499/Ga0103071:1000013734:1-124159:1-50;7;4(+)
MGV-GENOME-0311421:1-50;4;5(+)
IMGVR_UHGV_2000007402:000312:1000007802/Ga0185647:1002592:53898:1-53;8;7(+)
MGV-GENOME-0313386:1-51;6;0(?)
unig_98153:1-50;5;9(-)
IMGVR_UHGV_2000049988:025754:1000049988/Ga0497176_058005:1-50;6;9(+)
MGV-GENOME-0312139:1-50;6;9(-)
SRS016976_sl_152852_v=13:52;4;8(+)
MGV-GENOME-0308223:1-49;2;9(-)
Shiloporox_2019_SRR9161:105_NODE_205_length_48267_cov_26.772194:1-48;267(+)
IMGVR_UHGV_2000049988:000306:1000049988/Ga0497176_170345:1-48;6;1(+)
MGV-GENOME-0311569:1-47;4;8(+)
IMGVR_UHGV_2000049988:000306:1000049988/Ga0497176_008817:1-51;6;1(+)
MGV-GENOME-0312368:1-50;7;9(-)
IMGVR_UHGV_2000049988:019914:1000049988/Ga0497176_177883:1-50;7;5(+)
IMGVR_UHGV_2000049988:000961:1000049988/Ga0497176_069087:1-50;4;9(+)
MGV-GENOME-0310273:1-50;2;4(-)
MGV-GENOME-0311655:1-50;5;2(+)
MGV-GENOME-0347886:1-50;8;6(+)
MGV-GENOME-0310599:1-50;5;1(+)
IMGVR_UHGV_2000049988:000306:1000049988/Ga0497176_173688:1-46;374;(+)
IMGVR_UHGV_2000049988:001091:1000049988/Ga0497176_078006:1-51;7;2(+)
IMGVR_UHGV_2000049988:001181:1000049988/Ga0497176_188012:1-51;3;9(+)
MGV-GENOME-0279687:1-42;1;1(+)
unig_53853:1-40;0;3(+)
MGV-GENOME-0345377:1-44;0;1(+)
IMGVR_UHGV_2000049988:018855:1000049988/Ga0497176_058146:1-50;8;7(+)
MGV-GENOME-0312472:1-50;8;7(-)
MGV-GENOME-0312722:1-48;0;8(-)
IMGVR_UHGV_2000049988:018855:1000049988/Ga0497176_156503:1-50;5;7(+)
MGV-GENOME-0341379:1-50;5;7(-)
MGV-GENOME-0313090:1-51;0;8(+)
OTU_10563:1-50;8;11(-)
MGV-GENOME-0358197:1-50;-1;1(+)
MGV-GENOME-0310595:1-50;9;9(+)
MGV-GENOME-0309818:1-48;7;1(+)
IMGVR_UHGV_2000049988:004275:1000049988/Ga0497176_008787:1-50;8;7(+)
IMGVR_UHGV_2000049988:036243:1000049988/Ga0497176_077990:1-51;2;8(+)
MGV-GENOME-0313486:1-51;7;8(+)
unig_89293:1-50;8;9(+)
IMGVR_UHGV_2000029706:000019:1000029706/Ga0245129:1000661:1-51;0;0(+)
IMGVR_UHGV_2000049988:021253:1000049988/Ga0497176_047189:1-49;7;2(+)
IMGVR_UHGV_2000029706:000053:1000029850/Ga0245129:1000165663:80-112798:1-46;419;(+)
Norman_159_NODE_10_length_55:45_cov_35812463:1-51;0;5(+)
IMGVR_UHGV_2000049988:019984:1000049988/Ga0497176_188771:1-51;3;0(+)
Norman_NODE_2_length_5056:1-17;39975:1-50;9;0(+)
unig_469433:1-41;2;4(+)
SAMN05449732_sl_ct74305_v=8:1-54;22;1(+)
unig_408128:1-54;8;7(+)
MGV-GENOME-0306774:1-46;2;0(+)
unig_514718:1-46;6;0(+)
IMGVR_UHGV_2000029706:000019:1000029706/Ga0245129:1000636:1-53;0;0(+)
unig_187592:1-53;1;6(+)
IMGVR_UHGV_2000049988:006363:1000049988/Ga0497176_163103:1-48;20;1(+)
unig_344319:1-50;9;7(+)
unig_350941:1-50;5;4(+)
EnviDiv_sl_46938:1-50;9;2(+)
MGV-GENOME-0323582:1-52;8;9(+)
SAMN05281128_sl_LH12-rc16_v=1:1-50;8;9(+)
OTU_3066:1-50;2;5(+)
IMGVR_UHGV_2000029899:000018:1000029899/Ga0245105:1000983309:54979:1-53;6;7(+)
IMGVR_UHGV_2000049988:001610:1000049988/Ga0497176_078025:1-51;2;5(+)
IMGVR_UHGV_2000029919:000059:1000029919/Ga0245105:1000083131:53639:1-53;5;9(+)
IMGVR_UHGV_2000049988:001610:1000049988/Ga0497176_077923:1-51;5;6(+)
MGV-GENOME-0313573:1-51;7;5(+)
IMGVR_UHGV_2000029124:000015:1000029124/Ga0245129:1000060560:59305:1-53;706;(+)
IMGVR_UHGV_2000029896:000010:1000029896/Ga0245105:100216:1-51;1;8(+)
MGV-GENOME-0313385:1-51;9;0(+)
unig_91327:1-51;2;1(+)
IMGVR_UHGV_2000049988:042768:1000049988/Ga0497176_057878:1-50;5;6(+)
IMGVR_UHGV_2000049988:001610:1000049988/Ga0497176_165380:1-49;563;(+)
IMGVR_UHGV_2000049988:034700:1000049988/Ga0497176_078134:1-51;3;9(+)
IMGVR_UHGV_2000049988:035388:1000049988/Ga0497176_078069:1-51;3;0(+)
IMGVR_UHGV_2000049988:039286:1000049988/Ga0497176_000859:1-51;6;7(+)
IMGVR_UHGV_2000049988:039286:1000049988/Ga0497176_156497:1-52;7;8(+)
unig_146437:1-52;7;8(+)
IMGVR_UHGV_2000029248:000051:1000029248/Ga0246846:1000012174285-227384:1-53;930(+)
IMGVR_UHGV_2000049988:029:1:2000049988/Ga0497176_078306:1-51;5;6(+)
unig_530783:1-57;7;6(+)
MGV-GENOME-0327792:1-49;1;3(+)
unig_442290_:1-51;8;0(+)
MGV-GENOME-0311113:1-51;1;8(-)
IMGVR_UHGV_2000029919:000172:1000029919/Ga0245105:1001542:59273:1-59;272(+)
unig_541299:1-55;0;5(+)
IMGVR_UHGV_2000049988:035388:1000049988/Ga0497176_159523:1-55;7;5(+)
MGV-GENOME-0357538:1-55;7;5(+)
IMGVR_UHGV_2000029737:000143:1000029737/Ga0245139:1001911:59574:1-59;574(+)
MGV-GENOME-0313821:1-53;1;6(+)
IMGVR_UHGV_2000049988:020407:1000049988/Ga0497176_058074:1-50;7;6(+)
MGV-GENOME-0312291:1-50;7;6(+)
MGV-GENOME-0312222:1-50;7;6(+)
MGV-GENOME-0312206:1-50;7;6(+)
unig_529361:1-50;7;6(+)
IMGVR_UHGV_2000049988:001610:1000049988/Ga0497176_058291:1-50;9;6(+)
IMGVR_UHGV_2000029386:000073:1000029386/Ga0245139:1:1001601101:67215:1-56;186(+)
IMGVR_UHGV_2000029385:000363:1000029385/Ga0245139:1:1000882152164:70229:1-56;064(+)
IMGVR_UHGV_2000029737:000143:1000029737/Ga0245139:1001832:59365:1-59;365(+)
MGV-GENOME-0344509:1-47;24;4(+)
IMGVR_UHGV_2000029737:000143:1000029737/Ga0245139:1000832:59365:1-59;365(+)
MGV-GENOME-0339452:1-47;9;0(+)
IMGVR_UHGV_2000049988:000103:1000049988/Ga0497176_186536:1-45;771;(+)
IMGVR_UHGV_2000049988:004918:1000049988/Ga0497176_186379:1-51;882(+)
MGV-GENOME-0339453:1-47;9;0(+)
IMGVR_UHGV_2000049988:002:1:2000049988/Ga0497176_164110:1-48;329;(+)
IMGVR_UHGV_2524614554_0000012524614554/2524661379:1-48;818;(+)
defence (DefenseFinder)
defence (PADLOC)
virulence (VFDB)
anti-defence (dbAPIS)
tRNA
20000 nt